

Рис.1. Экспериментальные зависимости величин НЧ и СВЧ продетектированных сигналов (1- ΔU_h и 2- ΔI_h) и мощности 3- P_{uf} от положения короткозамыкающего поршня..

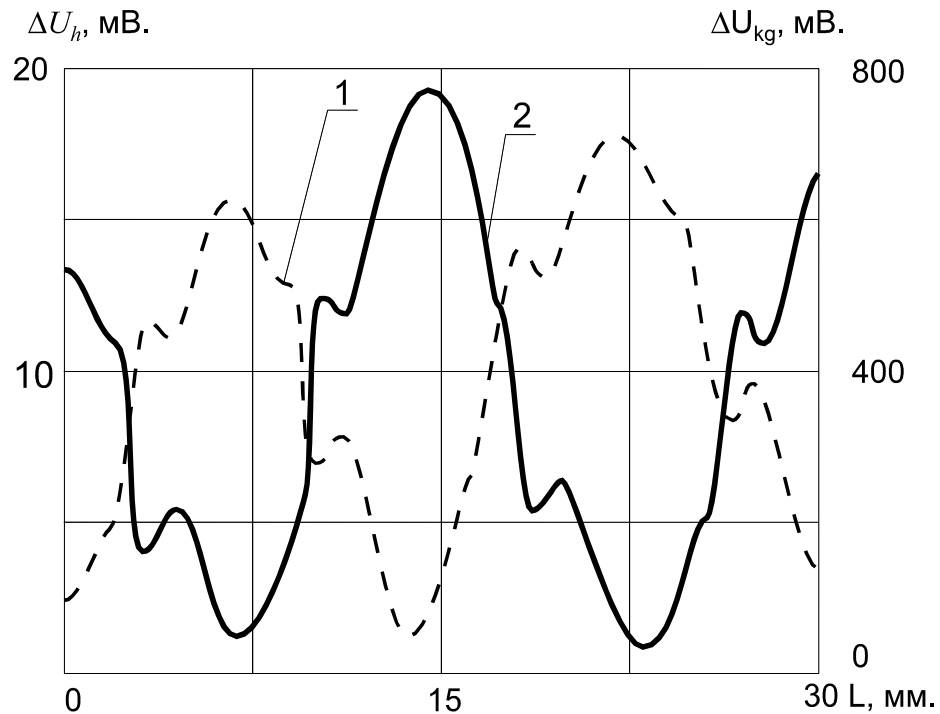


Рис.2. Теоретические зависимости величин НЧ и СВЧ продетектированных сигналов от положения короткозамыкающего поршня.